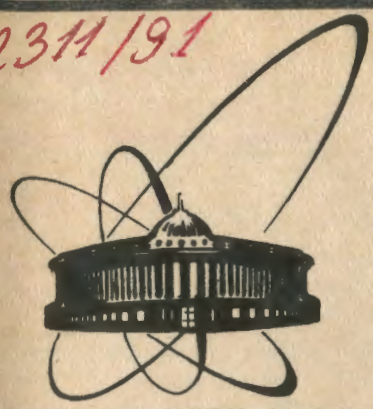


91-87

2311/91



сообщения
объединенного
института
ядерных
исследований
Дубна

P11-91-87

810a

И.В.Амирханов, Е.В.Земляная, Т.П.Пузынина

SNIDE - ПАКЕТ ПРОГРАММ ДЛЯ РЕШЕНИЯ ЗАДАЧ
НА СОБСТВЕННЫЕ ЗНАЧЕНИЯ
ДЛЯ ИНТЕГРО-ДИФФЕРЕНЦИАЛЬНОГО УРАВНЕНИЯ
НА ОСНОВЕ НАМН

1991

1. Введение

Некоторые методы квантово-механических расчетов атомных и молекулярных состояний^{/1/}, состояний в конденсированных средах^{/2/}, описание кварковых связанных состояний^{/3/} и т.д. приводят к необходимости решения интегро-дифференциальных уравнений.

В данной работе представлена программа численного решения задачи на собственные значения следующего вида:

$$\varphi^{(n)}(\lambda, y) \equiv \left[\frac{d^2}{dx^2} + (Q(x) - \lambda R(x)) \right] y(x) + y^n(x) \int_a^b K(x, x') y^m(x') dx' = 0 \quad (1)$$

$$n = 0, 1, \quad m = 1, 2, \quad x \in [a, b],$$

с граничными условиями

$$\varphi^{(2)}(\lambda, y) \equiv \left[d_1(\lambda, x) \frac{d}{dx} + f_1(\lambda, x) \right] y(x) \Big|_{x=a} = 0, \quad (2)$$

$$\varphi^{(3)}(\lambda, y) \equiv \left[d_2(\lambda, x) \frac{d}{dx} + f_2(\lambda, x) \right] y(x) \Big|_{x=b} = 0 \quad (3)$$

и условием нормировки

$$\varphi^{(4)}(\lambda, y) \equiv \int_a^b y^2(x) dx - N = 0, \quad (4)$$

где $Q(x)$, $R(x)$, $K(x, x')$ — заданные на $[a, b]$ функции, обеспечивающие существование нетривиального решения, N — нормировка, $d_1^2 + f_1^2 > 0$, $d_2^2 + f_2^2 > 0$. Численные схемы построены на основе непрерывного аналога метода Ньютона (НАМН)^{/4/}. Согласно этому методу функциональное уравнение

$$\Phi(z) = 0, \quad (5)$$

представляющее исследуемую задачу, заменяется эволюционным уравнением

$$\frac{d}{dt} \Phi(z(t)) = -\Phi(z(t)), \quad (6)$$

$$0 \leq t < \infty, \quad z(0) = z_0.$$

Его интеграл есть $\Phi(t, z(t)) = \Phi(0, z_0) e^{-t}$. При $t \rightarrow \infty$ $\Phi(z)$ стремится к 0, и $z(t)$ стремится к искомому решению z^* . При практическом применении этого метода производится дискретизация по непрерывному параметру t . При этом важное значение приобретает проблема выбора шага τ по t , который оказывает существенное влияние на сходимость итерационного процесса. Реализация этого подхода в применении к интегро-дифференциальному уравнению вида $D(z) + S(z) = 0$, где D и S соответственно дифференциальный и интегральный операторы, а $z = (\lambda, y(x))$, приводит к необходимости решать на каждом шаге t_i однопараметрические краевые задачи для интегро-дифференциальных уравнений, при дискретной аппроксимации которых приходится оперировать с полными матрицами высокого порядка. Для устранения этой трудности использован подход, предложенный в [6], позволяющий решать на каждом шаге t_i дифференциальные краевые задачи вместо интегро-дифференциальных. Ослабить требования при таком подходе дополнительные ограничения на норму интегрального оператора [7] должно применение так называемой функции включения $g(t)$, $g(0) = 0$, $g(\infty) = 1$ [8]. В этом случае зависимость оператора $\Phi(z) = D(z) + S(z)$ от t вводится следующим образом:

$$\Phi(t) = D + g(t)S, \quad (7)$$

и эволюционное уравнение имеет вид

$$\Phi_n^i(t) + \Phi_z^i \frac{dz}{dt} = -\Phi(z, t), \quad (8)$$

$z(0) = z_0$ - решение уравнения

$$D(z) = 0. \quad (9)$$

Численная схема в представляемом пакете программ реализована на дискретной сетке $x_i \in \{x_0, \dots, x_n\}$ с неравномерным шагом $n_i = x_{i+1} - x_i$. Для аппроксимации на эту сетку коэффициентов $Q(x)$, $R(x)$ и ядра $K(x, x')$, которые могут быть даны или предварительно вычислены на более редкой сетке, для вычисления производных y'' , y' и интегралов в задаче (1)-(4) в программе использованы кубические сплайны [9]. Для решения краевых задач применяется метод сплайн-коллокации [10], определивший получение решений с точностью порядка $O(h^2)$.

Работы по совершенствованию пакета snifg с целью доведения точности получаемых решений до порядка $O(h^4)$ ведутся и будут представлены в пакете snifg4. Набор алгоритмов для выбора шага по t , а также возможность подключения модифицированного алгоритма с фикса-

рованным сдвигом собственного значения λ позволяют при решении конкретной задачи подобрать режим, обеспечивающий хорошую сходимость и устойчивость вычислений. Работа программы была проверена на ряде тестовых задач и использовалась для численного решения интегро-дифференциального уравнения в рамках теории полярона.

В работе приводится описание алгоритма и список параметров программ пакета, а также обсуждаются численные результаты.

2. Алгоритм программы

2.1. Описание итерационного процесса

Последовательность операторов $\Phi^{(J)}$, $J=1, 2, 3, 4$ задачи (I)-(4) можно рассматривать как нелинейный функционал $\Phi(z)$, где $z = (\lambda, y(x))$. Согласно подходу, определяемому непрерывным аналогом метода Ньютона, величины $(\lambda, y(x))$ ставятся в зависимость от непрерывного параметра t ($0 \leq t \leq \infty$): $z(t) = (\lambda(t), y(x, t))$. Зависимость $\Phi(z)$ от t вводится также через функцию включения $g(t)$: $g(0) = 0$, $g(\infty) = 1$. Полученное эволюционное уравнение имеет следующий вид:

$$\frac{d}{dt} [D_J(z(t)) + g(t)S_J(z(t))] = -[D_J(z(t)) + g(t)S_J(z(t))], \quad (10)$$

$$2 \int_a^b y(x, t) y'_t(x, t) dx = - \int_a^b y^2(x, t) dx + N, \quad J=1, 2, 3, \quad (11)$$

$$\text{где } D_J(z(t)) \equiv \left[\frac{d^2}{dx^2} + Q(x) - \lambda(t)R(x) \right] y(x, t), \quad (12)$$

$$D_2(z(t)) \equiv \left[d_{01}(x, \lambda(t)) \frac{d}{dx} + f_{01}(x, \lambda(t)) \right] y(x, t) \Big|_{x=a}, \quad (13)$$

$$D_3(z(t)) \equiv \left[d_{02}(x, \lambda(t)) \frac{d}{dx} + f_{02}(x, \lambda(t)) \right] y(x, t) \Big|_{x=b}, \quad (14)$$

$$S_1(z(t)) \equiv y^2(x, t) \int_a^b K(x, x') y^m(x', t) dx', \quad (15)$$

$$S_2(z(t)) \equiv \left[d_{11}(x, \lambda(t)) \frac{d}{dx} + f_{11}(x, \lambda(t)) \right] y(x, t) \Big|_{x=a}, \quad (16)$$

$$S_3(z(t)) \equiv \left[d_{12}(x, \lambda(t)) \frac{d}{dx} + f_{12}(x, \lambda(t)) \right] y(x, t) \Big|_{x=b}. \quad (17)$$

$$d_{01}(x, \lambda(t)) + d_{11}(x, \lambda(t)) = d_1(x, \lambda(t)), \quad (18)$$

$$d_{02}(x, \lambda(t)) + d_{12}(x, \lambda(t)) = d_2(x, \lambda(t)). \quad (19)$$

$$f_{01}(x, \lambda(t)) + f_{11}(x, \lambda(t)) = f_1(x, \lambda(t)), \quad (20)$$

$$f_{02}(x, \lambda(t)) + f_{12}(x, \lambda(t)) = f_2(x, \lambda(t)). \quad (21)$$

Вводя по t дискретную сетку $t_i \in \{t_0, \dots, t_n, \dots\}$, при каждом фиксированном t_i получаем краевую задачу для интегро-дифференциального уравнения:

$$D_1(\lambda_i, v_i) + g_i \tilde{S}_1(\lambda_i, v_i, y_i) = \mu_i R(x) y_i - (g'_i + g_i) S_1(\lambda_i, y_i) - D_1(\lambda_i, y_i) \quad (22)$$

$$D_2(\lambda_i, v_i) + g_i S_2(\lambda_i, v_i) = -\mu_i [D_{2\lambda}^1(\lambda_i, y_i) + g_i S_{2\lambda}^1(\lambda_i, y_i)] - D_2(\lambda_i, y_i) - (g'_i + g_i) S_2(\lambda_i, y_i) \quad (23)$$

$$D_3(\lambda_i, v_i) + g_i S_3(\lambda_i, v_i) = -\mu_i [D_{3\lambda}^1(\lambda_i, y_i) + g_i S_{3\lambda}^1(\lambda_i, y_i)] - D_3(\lambda_i, y_i) - (g'_i + g_i) S_3(\lambda_i, y_i), \quad (24)$$

где $y_i = y(x, t_i)$, $\lambda_i = \lambda(t_i)$, $v_i = y'_t(x, t_i)$, $\mu_i = \lambda'_i(t_i)$,
 $g_i = g(t_i)$, $g'_i = g'_t(t_i)$.

$$\tilde{S}_1(\lambda_i, v_i, y) = n v_i y_i^{n-1} \int_a^b K(x, x') y_i^m(x') dx' + y_i^n \int_a^b K(x, x') m y_i^{m-1}(x') v_i(x') dx'. \quad (25)$$

Решив на i -том шаге задачу (22)–(25) и задав каким-либо образом шаг $\tau_i = t_{i+1} - t_i$, можно определить значения λ_{i+1} , $y_{i+1}(x)$ из соотношений

$$\begin{aligned} y_{i+1} &= y_i + \tau_i v_i \\ \lambda_{i+1} &= \lambda_i + \tau_i \mu_i \end{aligned} \quad (26)$$

Применяя подход, предложенный в [6], [7], интегро-дифференциальное уравнение (22) в задаче (22)–(25) можно заменить следующим дифференциальным уравнением:

$$\tilde{D}_1(\lambda_i, v_i) = \mu_i R(x) y_i - (g'_i + g_i) S_1(\lambda_i, y_i) - D_1(\lambda_i, y_i) - y_i^n \int_a^b K(x, x') m y_i^{m-1}(x') v_{i-1}(x') dx', \quad (27)$$

где

$$\tilde{D}_1(\lambda_i, v_i) = \left[\frac{d^2}{dx^2} + Q(x) - \lambda_i R(x) + n y_i^{n-1} \int_a^b K(x, x') y_i^m(x') dx' \right] v_i \quad (28)$$

Решение $v_i(x)$ краевой задачи (27)–(28), (23)–(24) вычисляется следующим образом:

$$v_i(x) = v_i^{(1)} \mu_i + v_i^{(2)}(x), \quad (29)$$

где $v_i^{(1)}$ и $v_i^{(2)}$ – решения краевых задач

$$\left\{ \begin{aligned} \tilde{D}_1(\lambda_i, v_i^{(1)}) &= R(x) y_i \\ D_2(\lambda_i, v_i^{(1)}) + g_i S_2(\lambda_i, v_i^{(1)}) \Big|_{x=a} &= D_{2\lambda}(\lambda_i, y_i) + g_i S'_{2\lambda}(\lambda_i, y_i) \Big|_{x=a} \\ D_3(\lambda_i, v_i^{(1)}) + g_i S_3(\lambda_i, v_i^{(1)}) \Big|_{x=b} &= D_{3\lambda}(\lambda_i, y_i) + g_i S'_{3\lambda}(\lambda_i, y_i) \Big|_{x=b} \end{aligned} \right. \quad (30)$$

$$\left\{ \begin{aligned} \tilde{D}_1(\lambda_i, v_i^{(2)}) &= -(g'_i + g_i) S_1(\lambda_i, y_i) - D_1(\lambda_i, y_i) - \\ &\quad - y_i^n \int_a^b K(x, x') m y_i^{m-1} v_{i-1}(x') dx' \\ D_2(\lambda_i, v_i^{(2)}) + g_i S_2(\lambda_i, v_i^{(2)}) \Big|_{x=a} &= -D_2(\lambda_i, y_i) - (g'_i + g_i) S_2(\lambda_i, y_i) \Big|_{x=a} \\ D_3(\lambda_i, v_i^{(2)}) + g_i S_3(\lambda_i, v_i^{(2)}) \Big|_{x=b} &= -D_3(\lambda_i, y_i) - (g'_i + g_i) S_3(\lambda_i, y_i) \Big|_{x=b} \end{aligned} \right. \quad (31)$$

а значение μ_i вычисляется по формуле, вытекающей из условия нормировки:

$$\mu_i = \frac{\frac{1}{2} (N - \int_a^b y_i^2(x) dx) - \int_a^b v_i^{(2)}(x) y_i(x) dx}{\int_a^b y_i(x) v_i^{(1)}(x) dx} \quad (32)$$

Итак, зная $(\lambda_i, y_i(x))$, вычислив с помощью (27)–(32) v_i , μ_i , можно найти $(\lambda_{i+1}, y_{i+1}(x))$. Таким образом, процесс вычислений полностью определен, если задано начальное приближение $(\lambda_0, y_0(x))$ и алгоритм для вычисления τ_i . Начальное приближение подбирается, исходя из особенностей конкретной

задачи. Один из вариантов - использование в качестве начального приближения решения дифференциального уравнения

$$D_J(z) = 0, \quad J = 1, 2, 3, \quad (33)$$

где D_J определяется из формул (I2)-(I4). Вычисления продолжаются до тех пор, пока не будет выполнено неравенство

$$\delta_i < \varepsilon, \quad (34)$$

где $\varepsilon > 0$ заранее заданное малое число, δ_i - невязка, вычисляемая по формулам:

$$\delta_i = \max_J \max_{x \in [a, b]} |\varphi^{(j)}(\lambda_i, y_i(x))|, \quad J = 1, 2, 3 \quad (35)$$

либо

$$\delta_i = \int_a^b \varphi^{(1)2}(\lambda_i, y_i(x)) dx. \quad (36)$$

2.2. Вычисление параметра τ_k

Вычисление параметра τ_k на k -том шаге может осуществляться по одному из следующих пяти алгоритмов, применявшихся в ^{11-13/}

$$1. \quad \tau_k = \tau_0 = \text{const}, \quad 0 < \tau_0 \leq 1. \quad (37)$$

$$2. \quad \tau_k = \begin{cases} \min(1, 2\tau_{k-1}), & \text{если } \delta_k < \delta_{k-1} \\ \max(\tau_0, \tau_{k-1}/2), & \text{если } \delta_k \geq \delta_{k-1} \end{cases} \quad (38)$$

$$3. \quad \tau_k = \begin{cases} \min(1, \tau_{k-1} \frac{\delta_{k-1}}{\delta_k}), & \text{если } \delta_k < \delta_{k-1} \\ \max(\tau_0, \tau_{k-1} \frac{\delta_{k-1}}{\delta_k}), & \text{если } \delta_k \geq \delta_{k-1} \end{cases} \quad (39)$$

В формулах (38), (39) используется невязка, вычисленная по формуле (35).

$$4. \quad \tau_k = \max\left(\tau_0, \frac{\delta_{k-1}}{\delta_{k-1} + \delta_k(1)}\right) \quad (40)$$

где $\delta_k(1)$ - невязка на k -той итерации для $\tau = 1$. В этом

алгоритме используется значение невязки, вычисленное по формуле (36).

5. Параметр τ_k определяется следующим образом: на равномерной сетке ω_τ отрезка $[0, 1]$ с шагом $\Delta\tau$ вычисляется последовательность невязок b_k по формуле (35) и выбирается такое значение τ_k , которому соответствует минимальная невязка.

2.3. Модифицированный процесс

Модификация с фиксированным сдвигом $\bar{\lambda}$ по собственному значению призвана обеспечить сходимость к решению $\{\lambda_n^*, y_n^*(x)\}$, где λ^* - ближайшее к $\bar{\lambda}$ собственное значение $\sqrt{I_2}$. Суть ее состоит в том, что в эволюционном уравнении (6) вместо $z = \{\lambda, y(x)\}$ используется $\bar{z} = \{\bar{\lambda}, y(x)\}$, где $\bar{\lambda}$ некоторое фиксированное собственное значение. При этом эволюционное уравнение принимает вид:

$$\Phi'(\bar{z}) \frac{d\bar{z}}{dt} = -\Phi(\bar{z}),$$

что приводит к следующим изменениям в формулах итерационного процесса:

а) в левых частях уравнения и граничных условий краевых задач (30) и (31) вместо λ будет $\bar{\lambda}$,

б) $D_{2\lambda}, S_{2\lambda}'$ и $D_{3\lambda}, S_{3\lambda}'$ в задаче (30) также будут зависеть от $\bar{\lambda}$. При использовании модифицированного процесса в нелинейном случае следует внимательно относиться к выбору начального приближения для функции $y(x)$.

3. Описание параметров программы

Программа написана на языке FORTRAN, реализована на ЭВМ СдС-6500 и адаптирована на ЭВМ ЕС-1037, VAX-350 и IBM PC/AT. Обращение к ней осуществляется следующим оператором:

```
CALL SNIDE(M,UO,SLO,X,NQ,YK,Q,R,INT,N1,N2,T,NDEL,TAUO,NTAU,NT,IXQ,
          EPS,NMAX,NH,NPR,NPTX,SLTFIX,NORM,SNP,U,SLT).
```

M - размерность массивов UO, U, X.
 $M = N + 2$, где N - число узлов в сетке $x_i \in \{x_1, \dots, x_N\}$.

X - массив узлов сетки.

UO - массив начальных приближений:

в UO(1) содержится $y'_{0x}(x_1)$, $x_1 = a$

в UO(M) содержится $y'_{0x}(x_N)$, $x_N = b$

в UO(2), ..., UO(M-1) содержится $y_0(x_1) \dots y_0(x_N)$

SLO - начальное приближение для собственного значения

NQ - размерность массивов Q, R, YK, XC.

XQ - массив узлов сетки $\bar{x}_j \in \{\bar{x}_1, \dots, \bar{x}_{Nq}\}$, в которых заданы значения функций $Q(x)$, $R(x)$, $K(x, x')$.

Q,R - массивы значений функций $Q(\bar{x}_J)$, $R(\bar{x}_J)$, $J=1, NQ$.

YK(NQ,NQ) - матрица, в которой содержатся значения $K(\bar{x}_i, \bar{x}_J)$,
 $i=1, NQ$, $J=1, NQ$.

INT - параметр, характеризующий наличие или отсутствие интегрального члена в уравнении (I).

При INT=0 решается задача (33).

При INT=1 решается задача (I)-(4),(7), функция $g(t)$ вычисляется по формуле $g(t) = 1 - e^{-t}$, $g'(t) = e^{-t}$.

При INT=2 решается задача (I)-(4),(7), $g(t) = 1$, $g'(t) = 0$.

N1 - степень функции перед интегралом

N2 - степень функции под знаком интеграла

T - начальное значение непрерывного параметра t .

NDEL - параметр, определяющий выбор формул для вычисления невязки.

При NDEL=1 используется формула (35).

При NDEL=2 используется формула (36).

TAUO,NTAU,NT - параметры, определяющие способ вычисления τ_k .

В TAUO задается значение τ_0 ,

NTAU определяет номер алгоритма из п.2.2 для вычисления τ_k .

NT - число узлов сетки ω_τ для алгоритма № 5.

EPS - заданное малое число ϵ из соотношения (34), по которому прекращаются вычисления.

NMAX - максимально возможное число итераций.

NN - шаг таблицы, с которым печатаются входные данные, промежуточные и окончательный результаты.

NPR - количество итераций, через которое выдаются на печать промежуточные результаты.

NORM и SNP - параметры, связанные с нормировкой.

При NORM=1 осуществляется нормирование функции $y_k(x)$ на каждом шаге согласно условию нормировки (4). Если NORM=0, нормирование не производится. В SNP задается значение n из условия (4).

NFIX - при NFIX=1 подключается модифицированный процесс, описанный в п.2.3.

SLTFIX - фиксированный сдвиг $\bar{\lambda}$ собственного значения.

Результаты работы программы λ и $y(x_i)$ присваиваются соответственно параметрам SLT и U. В процессе работы программы SNIDE происходит обращение к подпрограмме DFT, которая должна быть составлена пользователем. В ней задаются граничные условия. Параметры подпрограммы DFT следующие:

DFT(SLT,SLTFIX,d10,d20,d11,d27,f10,f20,f11,f22,dt10,dt11,dt20,dt27,
Ft10,Ft11,Ft20,Ft22,A,B).

SLT - собственное значение, SLTPIX - фиксированный сдвиг собственного значения, а и в - границы отрезка.

$$\begin{aligned}
 & d_{10} - d_{01}(\lambda, x), \quad f_{10} - f_{01}(\lambda, x), \quad dt_{10} - d'_{01\lambda}(\lambda, x), \quad ft_{10} - f'_{01\lambda}(\lambda, x), \\
 & d_{20} - d_{02}(\lambda, x), \quad f_{20} - f_{02}(\lambda, x), \quad dt_{20} - d'_{02\lambda}(\lambda, x), \quad ft_{20} - f'_{02\lambda}(\lambda, x), \\
 & d_{11} - d_{11}(\lambda, x), \quad f_{11} - f_{11}(\lambda, x), \quad dt_{11} - d'_{11\lambda}(\lambda, x), \quad ft_{11} - f'_{11\lambda}(\lambda, x), \\
 & d_{22} - d_{12}(\lambda, x), \quad f_{22} - f_{12}(\lambda, x), \quad dt_{22} - d'_{12\lambda}(\lambda, x), \quad ft_{22} - f'_{12\lambda}(\lambda, x).
 \end{aligned}$$

4. Численные примеры

Ниже приводятся некоторые результаты по тестам, на которых проверялась работа пакета программ SNIDE. В большинстве случаев использовалась равномерная сетка по x с шагом $h = 0.05$ и числом узлов $N = 201$. Значения функций $Q(x)$, $R(x)$, $K(x, x')$ задавались на неравномерной сетке с числом узлов $NQ = 60$, с шагом $h = 0.05$ в окрестности нуля и более крупным шагом в остальной части интервала. Все представленные результаты получены на ЭВМ СДС-6500.

$$I. \quad y''(x) + (Q(x) - \lambda) y(x) + \int_0^x K(x, x') y(x') dx' = 0.$$

$$y(0) = y(\infty) = 0,$$

$$Q(x) = 4 + \frac{2}{x} - \frac{\alpha e^x}{x^3},$$

$$K(x, x') = \frac{\alpha}{x^2 x'}$$

$$\alpha = 0 \div 1.$$

Аналитическое решение задачи: $\lambda^* = 5$, $y^*(x) = x e^{-x}$. Вычисления проводились на отрезке $[0, 10]$. В качестве начального приближения использовалось решение соответствующего дифференциального уравнения, полученное с помощью программы SNIDE с параметром INT=0.

В таблице I представлены результаты решения этой задачи при различных значениях параметра α . Для каждого α указаны полученное значение λ и величина $\Delta = \max_{i=1, N} |y(x_i) - y^*(x_i)|$. Задача решалась с нормировкой на каждом шаге, при $\varepsilon = 5 \cdot 10^{-5}$, δ_0 - величина начальной невязки.

Таблица 1.

α	δ_0	λ	Δ
0,0001	1,97	5,00031	$2,64 \cdot 10^{-4}$
0,001	19,25	5,00053	$2,56 \cdot 10^{-4}$
0,01	174,34	5,00049	$2,23 \cdot 10^{-4}$
0,1	1371,9	5,00036	$1,41 \cdot 10^{-4}$
0,4	4326,9	5,00021	$6,62 \cdot 10^{-5}$
0,7	6802,2	5,00011	$3,95 \cdot 10^{-5}$
1	9098,9	5,00001	$2,71 \cdot 10^{-5}$

$$2. \quad y''(x) + (1-\lambda)y(x) + \int_a^b K(x,x')y(x')dx' = 0$$

$$K(x,x') = e^{-x}e^{x'} \frac{4}{e^2}, \quad a=0, \quad b=10.$$

а) Если граничные условия имеют вид $y(a)=0$, $by'(b) + (1-b)y(b)=0$, то решение задачи следующее: $\lambda^* = 2$, $y^*(x) = xe^{-x}$.

б) При граничных условиях

$$y'(a) + y(a) = 0$$

$$y'(b) + y(b) = 0$$

уравнение имеет решение $\lambda^* = 2,4$, $y^*(x) = e^{-x}$.

Задача решалась с граничными условиями а) и б) при $\epsilon = 10^{-4}$, $\lambda_0 = 2$,

$y_0(x) = e^{-x}$, с нормированием функции на каждом шаге. Расхождение с аналитическим решением в обоих случаях не превышало $3 \cdot 10^{-4}$.

$$3. \quad y''(x) + (Q(x) - \lambda)y(x) + \int_a^b K(x,x')y(x')dx' = 0$$

$$Q(x) = -\frac{x^2 + 2x + 7}{(x+1)^2}, \quad K(x,x') = \frac{4}{(x+1)^3}(x'+1)e^{-x'}$$

$$y'(x) + \frac{1}{x+1}y(x) = 0, \quad x=a, b, \quad a=0, \quad b=10.$$

Аналитическое решение этой задачи: $y^*(x) = \frac{1}{x+1}$, $\lambda^* = -1$.

В качестве начального приближения использовалось решение задачи

$$y''(x) + (Q(x) - \lambda)y(x) = 0$$

$$y'(x) + \frac{2}{x+1}y(x) = 0, \quad x=a, b,$$

имеющее вид: $y_0(x) = \frac{1}{(x+1)^2}$, $\lambda_0 = -1$.

Начальное значение невязки $S = 4,13$. В таблице 2 указаны число итераций K и время счета на СДС-6500 при различных способах выбора τ_k .

Расхождение с аналитическим решением во всех случаях не превышает 10^{-3} .

Таблица 2.

NTAU	TAUO	K	t _{ср} 6500 (сек)
1	0,3	25	601,1
1	0,5	16	384,1
2	0,1	26	625,1
2	0,2	30	741,5
3	0,1	31	765,7
3	0,3	30	741,5
3	0,5	20	482,5
4	0,1	23	792,6
4	0,5	25	884,3
5	0,2	10	877,5

$$4. \quad y''(x) - \frac{\lambda}{(x+1)^2} y(x) + \int_a^b \frac{x'+c}{(x'+1)^5} y(x') dx' = 0.$$

$$(x+1)y'(x) + 3y(x) = 0, \quad x = a, b, \quad b = 9, \quad c = -11, 21$$

Аналитическое решение задачи: $\lambda^* = 6,9$, $y^*(x) = \frac{1}{(x+1)^3}$. Начальное приближение $\lambda_0 = 6$, $y_0(x) = \frac{1}{(x+1)^2}$ является решением задачи

$$y''(x) - \frac{\lambda}{(x+1)^2} y(x) = 0, \quad a=0, \quad b=9$$

$$(x+1)y'(x) + 2y(x) = 0, \quad x = a, b.$$

При этом начальное значение невязки $\delta_0 = 14,9$.

В таблице 3 представлены собственные значения λ_k , полученные на сетках с разным числом узлов, $\Delta_k = \max_{k=1, N} |y_k(x) - y^*(x)|$ число итераций K , а также результат экстраполяции по Ричардсону^{17/}. Вычисления проводились при NTAU=2, TAUO=0,2, EPS=10⁻⁴.

Таблица 3.

Число узлов	λ_k	к число итераций	Δ_k
101	6,542	8	4,1 · 10 ⁻³
201	6,681	8	1,1 · 10 ⁻³
401	6,886	9	2,9 · 10 ⁻⁴
Экстраполяция по Ричардсону	6,89975		1,46 · 10 ⁻⁵

$$5. \quad y''(x) - (4 + \lambda)y(x) + y(x) \int_a^b k(x, x') y^2(x') dx'$$

$$k(x, x') = 0,3 \cdot e^{2x'}, \quad a = 0, \quad b = 10$$

$$y'(x) + y(x) = 0, \quad x = a, \quad b$$

Аналитическое решение задачи $y^*(x) = e^{-x}$, $\lambda^* = 0$. Для проверки порядка сходимости схемы были проведены вычисления на последовательности вдвое сгущающихся сеток с шагом $h_0 = 0.1$, $h_0/2$, $h_0/4$. Получены значения σ_λ и σ_{y_i} , вычисленные по формулам

$$\sigma_\lambda = \frac{\lambda_h - \lambda_{h/2}}{\lambda_{h/2} - \lambda_{h/4}}, \quad \sigma_{y_i} = \frac{y_i h - y_i h/2}{y_i h/2 - y_i h/4}.$$

При этом $\sigma_\lambda = 3.9$, $\sigma_{y_i} > 3.9$, что подтверждает второй порядок сходимости схемы.

5. Применение пакета к решению уравнения полярона

Согласно модели Латтинжера-Лу^{/14/}, задача на собственные значения для интегро-дифференциального уравнения, решения которой определяют уровни энергии и волновые функции полярона, имеет следующий вид:

$$\begin{cases} \Psi'' - \lambda \Psi(x) + 8\sqrt{2} \pi \alpha \Psi(x) \frac{1}{x} \int_0^\infty D(x, x') \frac{\Psi^2(x')}{x'} dx' = 0 \\ \Psi(0) = \Psi(\infty) = 0 \\ \int_0^\infty \Psi^2(x) dx = \frac{1}{4\pi} \end{cases} \quad (4I)$$

где

$$D(x, x') = \begin{cases} x' - \frac{1}{c} e^{-cx} \operatorname{sh} cx', & x' < x, \\ x - \frac{1}{c} \operatorname{sh} cx \cdot e^{-cx'}, & x < x', \end{cases}$$

$\alpha > 0$ константа связи, $0 < \mu < 1$ приведенная масса, $c = \mu \sqrt{2} / \sqrt{1 - \mu}$, $\lambda = 2\mu \epsilon$, $\epsilon > 0$ - уровни энергии. В предельном случае при $\mu = 1$ $D(x, x')$ имеет вид:

$$D(x, x') = \begin{cases} x', & x' < x \\ x, & x < x' \end{cases}$$

Решая эту задачу с помощью программы SNIDE, удалось получить результаты, хорошо согласующиеся с полученными в работах^{/15,16/}, где задача в рамках той же модели решалась в другой постановке, а именно в виде системы дифференциальных уравнений с параметром $\alpha > 0$.

$$\begin{cases} \varphi'' - \varphi + \frac{1}{r} \varphi (W_1 - W_2) = 0 \\ W_1'' + \frac{1}{r} \varphi^2 = 0 \\ W_2'' - a^2 W_2 + \frac{1}{r} \varphi^2 = 0 \end{cases} \quad (42)$$

Решения и параметры задач (41), (42) связаны между собой рядом соотношений. Если параметры α и μ для задачи (41) выбраны, исходя из формулы

$$\mu(a, \alpha) = 2 \left[\sqrt{1 + \left(\frac{N}{\alpha}\right)^2} + 1 \right]^{-1}, \quad (43)$$

где $N = \int_0^1 \varphi^2(x) dx$, то соответствующие решения задач (42) и (41) должны удовлетворять соотношениям:

$$\begin{cases} \Psi = \gamma \varphi, & \gamma = \frac{1}{2\sqrt{2}} \sqrt{\frac{\mu \varepsilon \sqrt{2}}{\pi \alpha}} \\ \lambda = \beta \gamma, & \beta = 1/\sqrt{2\mu \varepsilon} \end{cases} \quad (44)$$

$$\varepsilon = \mu/a^2(1-\mu) \quad (45)$$

В таблице 4 даны собственные значения λ задачи (41) для решений с числом узлов $N_2 = 0, 1, 2$, вычисленные с помощью программы SNIDE. Во всех приведенных вариантах параметры α и μ выбраны согласно (43) в соответствии с имеющимися решениями задачи (42). Все вычисления по этой задаче проводились на VAX 8350. При этом использовались значения входных параметров программы SNIDE для $N_2 = 0$:

T=0.1, NTAU=1, TAU=0.5, NORM=0, NFIX=0 и для $N_2 = 1, 2$:

T=15, NTAU=3, TAU=0.05, NORM=1, NFIX=1. Во всех случаях использовалась сетка с шагом $h = 0.1$ по x ($0 < x \leq R$), значение R для каждого варианта указано в таблице 4). При этом для выполнения неравенства (34) с $\varepsilon = 10^{-4}$ требовалось в среднем 15-20 итераций.

В качестве начального приближения для $\Psi(x)$ при вычислении безузловых решений использовалась функция $\Psi_0(x) = x e^{-x}$. Начальное приближение для узловых решений подобралось в виде $\Psi_0(x) = c x e^{-\beta x} (1 - \beta x)$. Кроме того, возможно использование уже найденных решений в качестве начального приближения для решения задачи (41) с измененными значениями α и μ . Вычисления показали, что задача в данной постановке весьма чувствительна к выбору начального приближения, и итерационный процесс имеет тенденцию "скатываться" к безузловому решению. Эта проблема встает тем более остро, что применить метод исключения уже найденных решений путем ортогонализации (как, например, в [2]) не

удалось в силу нелинейности задачи. Поэтому проблема поиска эффективного способа построения начальных приближений остается актуальной и ее обсуждение будет предметом отдельной работы.

Таблица 4.

a	NZ	α	μ	R	λ	$\lambda^{1/16}$
0.6	0	1	0.2082	30	0.30321	0.30914
0.6	0	0.6	0.1309	30	0.10947	0.10953
0.6	0	5.125	0.6792	30	7.9882	7.9882
0.6	1	0.6	0.0737	80	0.03263	0.03259
1.	0	0.6	0.2414	30	0.15311	0.15363
1.	0	1	0.3674	30	0.42615	0.42675
1.	0	3.833	0.7973	30	6.2729	6.2721
1.	1	1.	0.2047	70	0.10536	0.10535
2.	1	2.	0.6059	40	0.4653	0.4659
2.	2	2.	0.458	60	0.1941	0.1942
∞	0	$\frac{N}{2\sqrt{2}}$	I	25	3.996	4.
∞	0	$\frac{N}{8\sqrt{2}}$				

Авторы выражают искреннюю благодарность Пузынину И.В. за научное руководство при постановке задачи, решении ее и обсуждении результатов этой работы и Стриж Т.А. за предоставленные численные расчеты для тестирования и сравнения результатов нескольких вариантов полярной задачи.

Литература

1. Давыдов А.С. Квантовая механика. Изд-во Наука, М., 1973.
2. Возбужденные полярные состояния в конденсированных средах. Сборник научных трудов. Пущино, 1990.
3. Pervushin V.N., Kalinovsky Yu.L., Kallies W., Sarikov N.A. Preprint JINR E2-89-58, 1989.
4. Жидков Б.П., Макаренко Г.И., Пузынин И.В. ЭЧАЯ, 1973, 4, вып. I, с.127.

6. Зиницкий С.И., Гочева А.Д., Кузнецин И.В. ОИИ, РИ-81-837, Дубна, 1981.
7. Гареев Г.А. и др. ЭМ и МЭ, 1977, 17, с.407.
8. Зиницкий С.И., Кузнецин И.В., Коромский В.И. ОИИ, Р4-9513, Дубна, 1979.
9. Зиницкий С.И., Гочева А.Д., Кузнецин И.В. ОИИ, РИ-83-315, Дубна, 1983.
10. Савьянов В.И., Квасов В.И., Мирониченко В.И. Методы сплайн-функций "Наука", 1981.
11. Алберг Лж., Вильсон С. Уолш Лж. Теория сплайнов и ее приложения, Мир, 1973.
12. Кузнецин И.В., Кузнецина Т.И. в сб.: Алгоритмы и программы для решения некоторых задач физики КФЭ-74-34, Будапешт, 1974, с.87-111.
13. Кузнецин И.В., Кузнецина Т.И., Стриж Т.А. ОИИ, РИ-87-332, Дубна, 1987.
14. Физиков В.В., Калиткин Н.Н. ЭМ и МЭ, 1981, 31, с.491.
15. Физиков В.В., Физик. Japan. J. Phys. Rev. B., 1980, 21,10,р.4251.
16. Амирханов И.В. и др. ОИИ, РИ-85-445, Дубна, 1985.
17. Амирханов И.В. и др. Численное исследование нелинейной самосогла-сованной задачи на собственные значения в обобщенной модели полярона. Душино, 1988.
18. Марчук П.И., Шафдров В.В. Повышение точности решения разностных схем "Наука", М., 1979.

Рукопись поступила в издательский отдел
13 февраля 1991 года.